

УДК 539.4.013; 620.171.5

Юрій Сорокатий

Бережанський агротехнічний коледж  
Національного аграрного університету

## ОПТИЧНИЙ МЕТОД ВИЗНАЧЕННЯ ПОЧАТКОВОГО ШЛЯХУ ПОШИРЕННЯ ТРІЩИНІ

Відомо [2], що плоский напруженій стан в околі вістря тріщини описується у вигляді

$$\begin{pmatrix} \sigma_r \\ \sigma_\theta \\ \tau_{r\theta} \end{pmatrix} = \frac{K_1}{4\sqrt{2r}} \begin{pmatrix} 5 \cos \theta_1 - \cos \theta_3 \\ 3 \cos \theta_1 + \cos \theta_3 \\ \sin \theta_1 + \sin \theta_3 \end{pmatrix} + \frac{K_2}{4\sqrt{2r}} \begin{pmatrix} -5 \sin \theta_1 + 3 \sin \theta_3 \\ -3 \sin \theta_1 - 3 \sin \theta_3 \\ \cos \theta_1 + 3 \cos \theta_3 \end{pmatrix} + \\ + \sigma(1-m) \begin{pmatrix} \cos 2\alpha \cos^2 \theta \\ \cos 2\alpha \sin \theta \\ -0.5 \cos 2\alpha \sin 2\theta \end{pmatrix} + O(\sqrt{r}), \quad (1)$$

де  $\sigma_r, \sigma_\theta, \tau_{r\theta}$  – компоненти тензора напружень у полярній системі координат;  $K_1 = \sigma\sqrt{l}(\sin^2 \alpha + m \cos^2 \alpha)$ ,  $K_2 = \sigma\sqrt{l}(1-m)\sin \alpha \cos \alpha$  – коефіцієнти інтенсивності напружень;  $r, \theta$  – полярні координати з полюсом у вістрі тріщини;

$2l$  – довжина тріщини;  $\theta_n = n\theta/2$ ;

$\sigma, m\sigma$  – напруження на безмежності, що діють під кутом  $\alpha$  до осі тріщини (див. рис.).

У праці [2] запропоновано визначати початковий кут поширення тріщини за умови, що

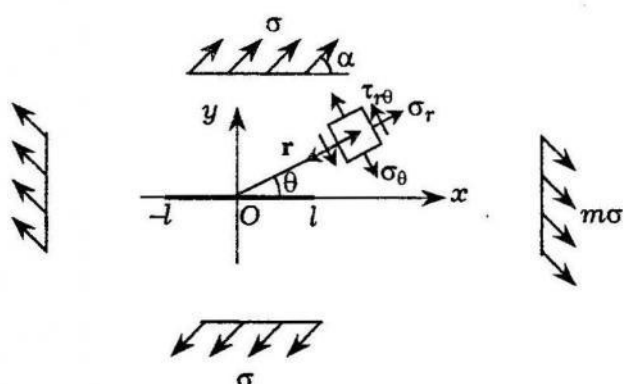
$$\lim_{r \rightarrow 0} \left\{ \sqrt{r} \frac{\partial \sigma_\theta}{\partial \theta} \right\}_{\theta=\theta^*} = 0. \quad (2)$$

Cotterell [6, 7] зазначив на відомий в інженерії факт впливу постійного нормального напруження,

що діє вздовж осі тріщини і не змінює значення коефіцієнтів інтенсивності напружень, на напрям початкового шляху поширення тріщини. Kibler, Roberts [11] експериментально дослідили вплив двовісності навантаження на кут початкового руйнування. Виявилось, що подекуди рівняння (2) не відображає реальної картини руйнування. Автори дослідження [8] припустили, що у деякому околі вістря тріщини  $r < r_c$  при зовнішньому навантаженні відбуваються нелінійні фізичні процеси (з'являються мікротріщини, накопичуються дислокації тощо), які зумовлюють розвиток макротріщини.

Тріщина у полі всестороннього розтягу.

© Сорокатий Юрій, 1999



Залишаючи відкритим питання про величину такої відстані  $r_c$ , вони запропонували визначати початковий кут поширення тріщини з умов:

$$\text{при } \theta = \theta^*, \quad r = r_c \quad \left\{ \begin{array}{l} \sigma_\theta > 0, \\ \frac{\partial \sigma_\theta}{\partial \theta} = 0, \\ \frac{\partial^2 \sigma_\theta}{\partial \theta^2} < 0, \end{array} \right. \quad \begin{array}{l} (3,a) \\ (3,b) \\ (3,c) \end{array}$$

що дало змогу пояснити результати експериментальних досліджень. Ми запропонували простий метод визначення структурного параметра  $r_c$  [5].

Рівняння (3,б) з урахуванням асимптотик (1) можна записати у вигляді

$$k_1 \sin \theta^* + k_2 (3 \cos \theta^* - 1) - \frac{16}{3} (1 - m) \sqrt{2a} \cos 2\alpha \cos \theta^* \sin \frac{\theta^*}{2} = 0, \quad (4)$$

де  $k_i = K_i / \sigma \sqrt{l}$ , ( $i = 1, 2$ ),  $a = r/l$ .

Зауважимо, що рівняння

$$\tau_{r\theta} \Big|_{\theta=\theta_s} = 0 \quad (5)$$

з урахуванням асимптотичного розвинення (1) дає

$$k_1 \sin \theta_s + k_2 (3 \cos \theta_s - 1) - 4(1 - m) \sqrt{2a} \cos 2\alpha \cos \theta_s \sin \frac{\theta_s}{2} = 0. \quad (6)$$

У таблиці наведені найхарактерніші розв'язки рівнянь (4) і (6) при певних значеннях параметрів  $a$ ,  $m$  і  $\alpha$ . Корені цих рівнянь відрізняються не більше, ніж на 2.5%.

З іншого боку [1, 3], рівняння (5) визначає ізокліну (ізолінію однакової орієнтації площинок головних напружень), параметр якої  $\theta_s$ , що має нахил (в малому околі вістря тріщини), до осі тріщини. Отже, якщо на окуляр аналізатора поляризаційної установки нанести лінію, що збігається з віссю тріщини, то синхронним обертанням аналізатора і поляризатора можна досягнути збігу на екрані нанесеної лінії і деякої ізокліни. Кут повороту при цьому і є кутом початкового шляху поширення тріщини. Автор праці [4] запропонував простий пристрій до серйового приладу КСП-7, що сприяє оперативному і точному визначення кута поширення тріщини.

Для порівняння якості запропонованого методу в таблиці наведені результати розрахунків значень кута поширення тріщини  $\theta_0$  за рівнянням Kitagawa [12]:

$$2 \sin \theta_0 (1 - 3 \cos \theta_0) \operatorname{ctg} 2\theta_m - (1 + 3 \cos \theta_0 - 6 \cos^2 \theta_0) = 0, \quad (7)$$

де  $\theta_m$  – кут нахилу петлі ізохроми до осі тріщини [1, 10].

Результати розрахунків кутів поширення тріщини за запропонованою  $\theta_s$  і відомими  $\theta_k$ ,  $\theta_0$  методиками при деяких значеннях параметрів  $a$ ,  $m$  і  $\alpha$

$m$	$a$	$\alpha = 30^\circ$				
		$\theta^*$ , град	$\theta_s$ , град	$\theta_m$ , град	$\theta_k$ , град	$\theta_0$ , град
0	0	-60.00	-60.00	-161.95 12.17 -163.17 5.96	-71.95 -77.83 -73.17 -84.04	-64.32 (18.03), (80.29) -64.42 (12.17), (76.87) -61.98 (16.82), (79.55) -67.56 (5.96), (73.55)
	0.002	-61.75	-61.41			
	0.020					
	0.060					
2	0	25.13	25.13	-65.02 111.16 -65.17 108.26	24.98 21.16 24.83 18.26	24.87 (-57.38), (84.83) 21.12 (-59.59), (82.25) 24.72 (-57.47), (84.73) 18.23 (-61.20), (80.42)
	0.002	24.31	24.47			
	0.020					
	0.060					

Автори праці [14], враховуючи гіпотези мінімуму густини пружної енергії деформації [15], дійшли висновку, що кут поширення тріщини  $\theta_k$  можна визначити зміною кута  $\theta_m$  на  $90^\circ$ . Значення кутів  $\theta_0$  і  $\theta_k$  ми розрахували з урахуванням скінченої відносної відстані  $a$  від вістря тріщини. Виявилось, що в окремих випадках двом традиційно вимірюваним кутам  $\theta_m$  за зафіксованою картиною смуг відповідає до шести коренів рівняння (7), і потрібний можна вибрати лише інтуїтивно. Значення «зайвих» коренів  $\theta_0$  у таблиці наведені в дужках. Gdoutos [9] запропонував за напрям поширення тріщини вважати бісектрису кута, обмеженого двома напрямами кута Ірвіна  $\theta_m$ , але ґрунтовний аналіз картин ізохром [13] свідчить про можливість існування трьох таких напрямів.

Загалом порівняння розрахункових даних і виконаний аналіз дають підстави вважати, що запропонований метод порівняно з відомими є точнішим, простішим і надійнішим. Очевидно, що у разі застосування методики фотопружних покрить вимірювання можна виконувати безпосередньо на пошкоджених елементах інженерних конструкцій.

- Гриліцький Д. В., Сорокатай Ю. І. Механічні і оптичні методи дослідження напруженого-деформованого стану тіл. – Львів: ЛДУ, 1984. – 60 с.
- Панасюк В. В. Предельное равновесие хрупких тел с трещинами. – К.: Наук. думка, 1964. – 264 с.

3. Сорокатый Ю. И. Метод фотоупругого определения начального пути разрушения // Смешан. задачи механики деформируемого тела. – Днепропетровск: ДГУ, 1981. – 154 с.
4. Сорокатый Ю. И. Теоретико-экспериментальные исследования напряженного состояния упругих пластин с инородными тонкостенными включениями: Автореф. дис ... канд. физ.-мат. наук: 01.02.04 / Ин-т прикл. пробл. механики и математики АН УССР. – Львов, 1985. – 17 с.
5. Сорокатый Ю. И., Налобин А. П. Фотоупругий метод исследования стабильности траектории распространения трещины нормального отрыва // Соврем. пробл. теории контактных взаимодействий: Материалы выездного Научного Совета АН ССР по трению и смазкам. – Луцк, 1987. – С. 68–69.
6. Cotterell B. On brittle fracture paths // Int. J. Fracture Mech. – 1965. – 1, № 1. – P. 96–103.
7. Cotterell B. Notes on the parts and stability of cracks // Int. J. Fracture Mech. – 1966. – 2, № 3. – P. 526–533.
8. Eftis J., Subramonian N., Ziebowite H. Crack border stress and displacement equations revisited // Eng. Fracture Mech. – 1977. – 9, № 1. – P. 189–210.
9. Gdoutos E. E. A photoelastic prediction of the crack propagation angle // J. Phys. E: Sci. Instrum. – 1980. – 13, № 7. – P. 776–777.
10. Irwin G. R. Discussion and author's closure of the paper. «The dynamic stress distribution surrounding a running crack. – A photoelastic analysis» // Proc. SESA. – 1958. – 16, № 1. – P. 93–96.
11. Kibler J.J., Roberts R. The effect of biaxial stresses on fatigue and fracture // Trans. ASME, Engng. Industry. – 1970. – P. 727–734.
12. Kitagawa H., Kim S. – C. The photoelastic analysis of stress intensity factors of crack bodies and their fracture strength // Хихакай кэнса, J. NDI. – 1976. – 25, № 8. – P. 466–472.
13. Rossmannith H. P. Analysis of mixed-mode isochromatic crack-tip fringe patterns // Acta Mechanica. – 1979. – 34, № 1–2. – P. 1–38.
14. Rouhi M. R., Evans W. T., Barr B. I. G. A photoelastic approach to fracture path predictions // Int. J. Fracture. – 1977. – 13, № 3. – P. 370–376.
15. Sih G. C. Experimental fracture mechanics: Strain energy density criterion // Mechanics of fracture / ed. by Sih G. C. – The Hague: Martinus Nijhoff Publ. – 1981. – 7. – P. XVII–LVI.

**Yuriy Sorokaty**

#### **OPTIAL METHODS FOR PREDICTION OF THE INITIAL CRACK EXTENSION**

*On the basis of photoelasticity the method of prediction the initial path of crack extension is devoted. Analysis of calculation the be-axial stresses surrounding of slanted crack shows us that the new method is more precision and simple.*